

Capítulo 12

Restos humanos de Erralla

CONCEPCION DE LA RUA*

Se estudian dos piezas dentales: un molar y un canino, hallados en un nivel correspondiente al Magdalenense Final (ALTUNA et al. 1984).

Tanto el aspecto general, tamaño y grado de atricción de estas piezas como la situación de su hallazgo, sugieren la posibilidad de que pertenezcan al mismo sujeto, ciertamente adulto, aunque de edad difícil de precisar mediante el patrón que relaciona ésta con el grado de atricción (BROTHWELL 1972), ya que es preciso considerar la influencia de varios factores (dieta alimenticia, orden de erupción dental, componente genético individual), cuya intensidad de actuación diferencial en épocas prehistóricas, pudiera modificar en parte esta relación. Por otro lado, el acusado grado de atricción observado en las piezas estudiadas, así como la intensa formación de dentina secundaria, que provoca un estrechamiento de la cámara pulpar observable radiográficamente (Fig. 3), indican una edad funcional de estos dientes muy superior a la que probablemente llegará a alcanzar el sujeto. En consecuencia, estas observaciones ponen de manifiesto una potente y activa masticación.

Ninguna de las dos piezas estudiadas presenta huella de caries ni de otro tipo de entidad patológica, por lo que en términos generales pueden considerarse sanas.

EL MOLAR

Se trata de un primer molar superior derecho (fig. 1), con una acusada atricción que equivale aproximadamente a un grado 6 (HINTON 1981), observándose dentina primaria en la totalidad de la superficie oclusal e incluso dentina secundaria en algún punto; el esmalte forma un cerco completo la atricción es oblicua en dirección vestibulo-lingual y mesio-distal.

Solamente se observan dos raíces, habiendo desaparecido por rotura, la raíz vestibulo distal.

Caractéres métricos y morfológicos

Es evidente que la intensa atricción observada, impide percibir importantes detalles morfológicos así como realizar ciertas mediciones. En relación a esto, se han tomado algunas medidas de altura para expresar numéricamente la acción de este proceso:

Corona

Sus medidas son:

Diámetro mesio distal	10,60 mm.
Diámetro vestibulo lingual	11,30 mm.
Altura	5,00 mm.
Índice de robustez	106,60 mm.

Estas dimensiones de la corona, que en términos generales podemos considerar de pequeño tamaño, no desentonan con el valor medio de los dientes modernos: diámetro mesio distal 10,70 mm. y vestibulo lingual 11,80 mm. (LUMLEY 1973).

Cara vestibular. El gran desgaste de esta pieza ha provocado el aplanamiento total de las cúspides vestibulares, no apreciándose apenas el final del surco vestibular.

El borde cervical presenta la forma típica de acento circunflejo, con una ligera punta dirigida hacia arriba entre las dos raíces vestibulares.

Sus dimensiones son: 9,35 mm. (borde libre) y 7,60 mm. (borde cervical).

Cara lingual. El borde cervical es horizontal. En el borde libre, muy desgastado, observamos, al igual que en la cara vestibular, un aplanamiento de las cúspides linguales, siendo asimismo inapreciables tanto el surco lingual como el tubérculo de Carabelli.

(*) Laboratorio de Antropología. Facultad de Ciencias. Universidad del País Vasco.

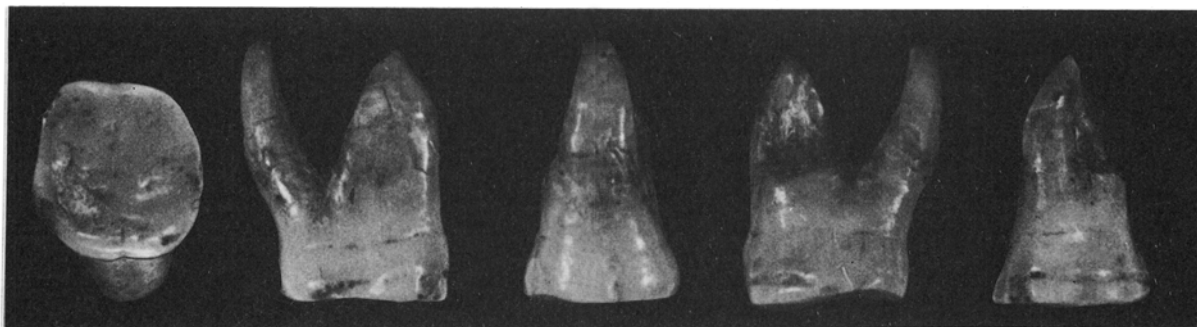


Fig. 1. M¹, caras vestibular, distal, lingual, mesial y oclusal (x 2) (Fotog. H. Astibia).

Las dimensiones de la cara lingual son: 9,60 mm. (borde libre) y 7,90 mm. (borde cervical).

Cara mesial. Se observa un claro rebajamiento horizontal de toda la cara mesial, siendo más intenso en la zona mesiolingual, de tal forma que el borde libre describe una línea inclinada en ésta última dirección.

La acción de una masticación muy activa se manifiesta también en la presencia de una faceta de contacto en sentido vestibulolingual.

Las medidas son: 11,35 mm. (borde libre) y 11,10 mm. (borde cervical).

Cara distal. El efecto del desgaste es especialmente notorio en esta cara, describiendo el borde libre una línea inclinada en dirección vestibulo lingual motivada por el gran rebajamiento del borde distolingual, cuya altura es en más de un tercio, inferior al borde distovestibular. Se aprecia una faceta de contacto en situación distolingual, por encima de la zona más rebajada del borde libre. Las medidas de esta cara son: 10,85 mm. (borde libre) y 10 mm. (borde cervical).

Cara oclusal. Resulta llamativo el acusado desgaste de esta cara que afecta al esmalte en toda la superficie oclusal, llegando a visualizarse dentina secundaria en algunos puntos. Todo ello provoca la desaparición de las cúspides, surcos principales, accesorios y fositas, formándose una concavidad en la zona lingual, más profunda en su porción distal y que ocupa prácticamente la mitad de la cara oclusal.

Los bordes vestibular y lingual son prácticamente rectilíneos, no apreciándose apenas las incisuras que marcan los surcos vestibular y lingual respectivamente. La faceta de contacto en la cara mesial provoca una ligera muesca medial en su borde libre. El borde distal es convexo. Las medidas son: 9 mm. (borde vestibular); 9,8 mm. (borde lingual); 10,60 mm. (borde mesial) y 10,30 mm. (borde distal).

Raíces

No se conserva la raíz vestibulo distal, aunque se aprecia el inicio de la misma perfectamente individualizada de la raíz vestibulo mesial. Las tres raíces están separadas del cuerpo del diente, aproximadamente a la mitad de la altura total.

La raíz vestibulo mesial está inclinada en sentido mesiodistal, apreciándose el recorrido del surco vertical en su cara distal, no así en la mesial.

Las medidas tomadas sobre la raíz son:

Altura de la raíz	13,8 mm.
Anchura mesio distal	7,3 mm.
Anchura vestibulo lingual	11,4 mm.
Longitud máxima del molar	18,3 mm.

Cámara pulpar

A la inspección radiográfica (fig. 3), la cámara pulpar presenta un tamaño y morfología que puede considerarse como normal.

Los canales radiculares son muy finos debido a la formación de dentina secundaria. La explicación de este proceso habría de buscarse en el tipo de alimentación del sujeto, que al requerir una masticación muy activa constituiría el estímulo fundamental para la producción de la dentina secundaria. Consideramos que atribuirlo a razones de edad como podría pensarse en el caso de un sujeto de nuestro tiempo, resulta sumamente improbable, dada la expectativa de vida media en la época en que se encuadra el presente hallazgo.

EL CANINO

Se trata de un canino superior derecho (fig. 2), de pequeño tamaño (22 mm., longitud total) y de atricción equivalente a la descrita en el molar, observándose una extensa área de dentina rodeada de un reborde de esmalte completo. La línea de desgaste es en dirección mesiodistal.

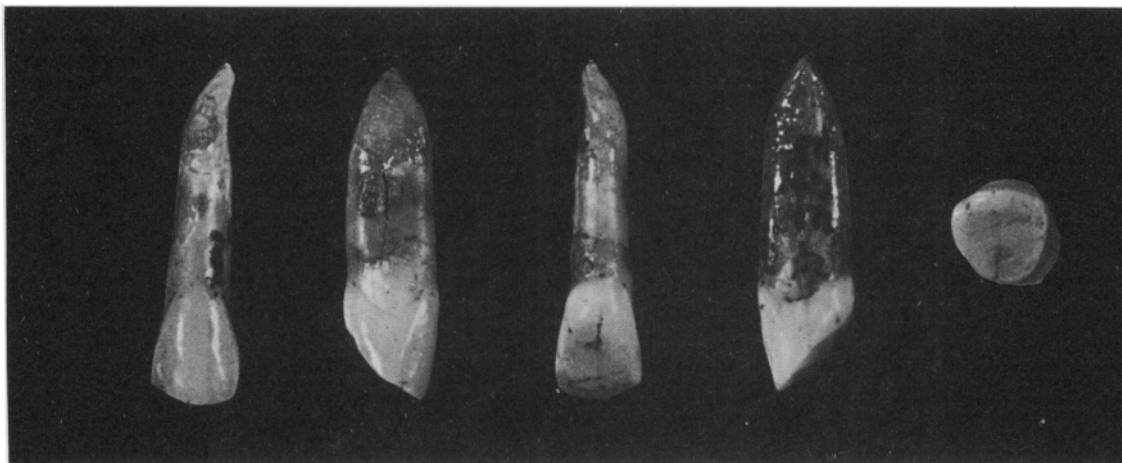


Fig. 2. C, caras vestibular, distal, lingual, mesial y oclusal (x 2) (Fotog. H. Astibia).

Dado que se trata de un canino superior, es de destacar la reducida dimensión de la raíz, que es habitualmente la más larga de todas.

Caracteres métricos y morfológicos

Corona

Sus medidas son:

Diámetro mesio distal	6,00 mm.
Diámetro vestíbulo lingual	6,75 mm.
Altura	7,80 mm.
Índice de robustez	112,50 mm.

Estos valores ponen de manifiesto el reducido tamaño de esta pieza ya comentado, menor incluso que la media actual: diámetro mesio distal 7,60 mm. y vestíbulo lingual 8 mm. (LUMLEY 1973).

Cara vestibular. El borde cervical es semicircular. El borde libre no presenta la forma de V abierta típica de los caninos, debido al desgaste de la pieza, presentando una ligera convexidad con el ángulo mesial más redondeado que el distal, el cual está situado ligeramente más alto.

Se observan en esta cara unas estrias verticales que van del borde cervical al borde libre y que parecen afectar únicamente al esmalte.

Las medidas son: 5,75 mm. (borde libre) y 4,45 mm. (borde cervical).

Cara lingual. El borde libre es redondeado debido a que la atricción ha desgastado su vértice, y el ángulo distal está ligeramente más elevado que el mesial.

Apenas se distinguen las crestas marginales mesial y distal; el cingulo ha desaparecido asimismo por efecto de la atricción, pero aún se aprecia una pequeña concavidad intermarginal.

El borde cervical de la cara lingual (4,2 mm.) es más estrecho que el de la cara vestibular.

Cara mesial. El borde libre describe una línea perfectamente oblicua en dirección vestíbulo lingual debido a que el cingulo, rebajado por acción del desgaste, no hace prominencia.

El borde cervical presenta una morfología normal. No se observa ninguna superficie de contacto interproximal.

Sus dimensiones son 6,45 mm. (borde libre) y 6,60 mm. (borde cervical).

Cara distal. La morfología tanto del borde libre como cervical de la cara distal, es normal y de características similares a las descritas en la cara mesial, no observándose tampoco ninguna superficie de contacto en las caras proximales.

Borde cortante. El filo de la cúspide se ha transformado, por acción del desgaste, en una superficie ligeramente aplanada, cuyo límite superior es convexo y el inferior está constituido por una línea oblicua descendente en dirección mesiodistal. En esta superficie son perfectamente visibles la dentina y el reborde del esmalte, lo que sugiere una masticación muy activa, que concuerda con lo referido anteriormente para el molar.

Raíz

La raíz del canino estudiado no presenta la robustez habitual de estas piezas dentales.

Presenta una incurvación en su ápice, dirigida hacia la cara mesial. La altura de la raíz es: 14,45 mm. (cara vestibular) y 14,20 mm. (cara lingual); la anchura a nivel del cuello: 4,25 mm. (cara vestibular), 4,10 mm. (cara lingual) y 6,20 mm. (cara proximal).

El surco vértico-medial que habitualmente recorre las caras mesial y distal, no se observa en este caso.

Cámara pulpar

La imagen radiográfica (fig. 3) pone de relieve un único canal radicular, recto y estrecho. Este estrechamiento es el aspecto más destacable de la morfología radicular, que sugiere consideraciones similares a las formuladas en el caso del molar.

Ante la angostura de este canal radicular, nos inclinamos más a pensar que pueda atribuirse a una actividad masticatoria intensa, en concordancia asimismo con la atricción observada, que a otros factores.

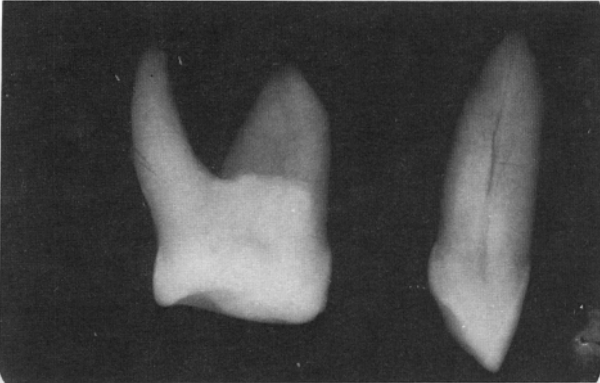


Fig. 3. Radiografía cara distal de M¹ y C.

Resumen y conclusiones

Se describen y analizan dos piezas dentales, un molar y un canino, halladas en el Yacimiento prehistórico de Erralla (Cestona, Guipúzcoa) en un nivel Magdaleniense Final. Se trata de dientes de tamaño mediano a pequeño, afectados por una intensa atricción. Los caracteres morfológicos y radiográficos de estas piezas, ponen de relieve una intensa actividad masticatoria, en relación evidente con el tipo de alimentación. Junto a esto, el grado

de desgaste observado, sugiere la existencia de partículas abrasivas entre los componentes de la dieta del sujeto al que probablemente pertenecieron ambas piezas dentales analizadas.

Conscientes de las limitaciones que supone el escaso material de que disponemos, así como el desgaste importante de estas piezas que impide la percepción de algunos detalles morfológicos de la corona, de especial interés para el descubrimiento de posibles rasgos ancestrales, a lo que habría que añadir la variabilidad individual de los dientes humanos, podemos decir no obstante, que la morfología y dimensiones de la corona, raíz y cámara pulpar, apuntan hacia una morfología dentaria que encuadra en el rango de variación normal de las piezas dentales actuales.

BIBLIOGRAFIA

- ALTUNA, J.; BALDEON, A.; MARIEZKURRENA, K.
1984 Depôts rituels Magdaléniens de la grotte d'Erralla (Pays Basque). *Munibe* 36, (Antropología, Arqueología) 3-10. San Sebastián.
- BRABANT. H & TWIESELNANN, F.
1964 Observations sur l'évolution de la denture permanente humaine en Europe occidentale. *Bull. Group. Int. Rech. Sc. Stomat.* 7. 11-84.
- BROTHWELL, D.R.
1972 Digging up Bones. British Museum (Natural History). London.
- HINTON, R.J.
1981 Form and patterning of anterior tooth wear among aboriginal human groups. *Am. J. Phys. Anthropol.* 54, 555-564.
- LUMLEY, M.A.
1973 Anténéandertaliens et Néandertaliens du Bassin Méditerranéen Occidental Européen. *Etudes Quaternaires*, Mém. n.º 2. Ed. Laboratoire de Paleontologie humaine et de Prehistoire. Paris.
- MARSEILLIER, E.
1965 Les Dents humaines. Morphologie. Gauthier Villars. Paris.